



بیست و یکمین کنفرانس اپتیک و فوتونیک ایران
و هفتمین کنفرانس مهندسی و فناوری فوتونیک ایران
۲۳ تا ۲۵ دی ماه ۱۳۹۳، دانشگاه شهید بهشتی



بررسی اثر تلاطم آب بر انتشار پرتو لیزری سرصاف دایره ای همدوس جزئی در خلیج فارس با در نظر گرفتن اپتیک گیرنده

اسماعیل کاظمیان^۱ و بیژن غفاری^۱

۱- دانشکده فیزیک، دانشگاه علم و صنعت ایران

۲- دانشکده علوم، دانشگاه علوم دریایی امام خمینی (ره)

چکیده - در این مقاله انتشار پرتو لیزری سرصاف دایره‌ای در آب‌های شمالی خلیج فارس بصورت تحلیلی بررسی شده‌است. برای این منظور عناصر ماتریس چگالی طیفی متقابل برای پرتو سرصاف دایره‌ای همدوس جزئی با استفاده از انتگرال تعمیم یافته هویگنس-فرنل محاسبه شده و تغییرات نرخ اتلاف انرژی جنبشی تلاطمی آب‌های شمال خلیج فارس در محاسبات اعمال شده‌است. با استفاده از آن تاثیر تلاطم بر پهن شدگی باریکه لیزری بررسی و اثر روزنه و عدسی استفاده شده در اندازه لکه و توان رسیده به آشکارساز نمایش داده شده‌است.

کلیدواژه- انتشار اپتیک زیرآبی، انتشار پرتو سرصاف، اندازه لکه، مخبرات لیزری زیرآبی.

Analysis the Persian Gulf turbulence effects on partially coherent Circular flat-topped laser beam propagation by regarding the receiver optical

E. Kazemian^{1,2}, B. Ghafary¹

1- Physics Department, Iran University of Science & Technology

2- Science Department, Maritime University of Imam Khomeini

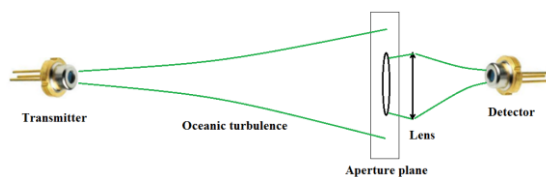
Abstract- In this paper the analytical expression for the elements of the cross-spectral density matrix of a partially coherent circular flat-topped beam propagating in northern part of the Persian Gulf turbulence has been derived. In calculations we have used the extended Huygens-Fresnel integral and variation of the rate of dissipation of turbulent kinetic energy of Persian Gulf. The turbulence effects on beam spreading and the aperture and lens effects on spot size and the detector's received power are calculated. The results may be useful for underwater optical communication systems.

Keywords: Underwater optical propagation, flat-topped beam propagation, spot size, underwater optical communication.

۱- مقدمه

یکی از نیازهای مهم در کاربرد پرتو نوری در مخابرات فضای آزاد و محیط‌های متلاطم، داشتن ناحیه‌ای با شدت نور ثابت است. پرتوهای سرصاف دارای این خاصیت هستند و بدلیل واگرایی کم، در طول مسیر انتشار تاثیرپذیری کمتری از محیط انتشار متلاطم دارند. در سالهای اخیر تعداد قابل توجهی از پژوهشگران موضوع مشخصه سازی عبور پرتو سرصاف از هوای متلاطم را مورد توجه قرار داده‌اند [۱].

همچنین تاثیر تلاطم روی رفتار انتشاری پرتو گاوسی و تاثیر آب مناطق مختلف دریا در تضعیف سیگنال پرتو گاوسی بررسی شده است [۲]. بررسی‌ها نشان می‌دهد مطالعه‌ای در خصوص اثر تلاطم آب دریا روی پرتو سرصاف دایره‌ای در خلیج فارس گزارش نشده است. بنابراین هدف این مقاله مطالعه دقیق این تاثیرات با در نظر گرفتن جزئیات می‌باشد. برای این منظور ابتدا روشی تحلیلی برای یافتن عناصر ماتریس چگالی طیفی متقابل برای پرتو همدوس جزئی سرصاف دایره‌ای در عبور از آبهای متلاطم خلیج فارس با استفاده اصل هویگنس فرنل ارایه شده است. سپس با استفاده از رابطه کولینز شدت پرتو رسیده به آشکارساز پس از عبور از اپتیک گیرنده شامل روزنه‌ای به شعاع پنج سانتی‌متر و عدسی همگرا به فاصله کانونی سی سانتی‌متر محاسبه شده است. و در آخر با استفاده از رابطه پهنای باریکه، اندازه لکه نوری تشکیل شده روی صفحه گیرنده و روی حساسه آشکارساز محاسبه شده است. از آنجایی که هدف بررسی اثر تلاطم آب بر پهن شدگی باریکه لیزری می‌باشد از پراکندگی ناشی از سایر عوامل و همچنین جذب آب (که در گزارشات قبلی محاسبه شده‌اند [۲]) و تاثیر حبابهای هوای داخل آن صرفنظر شده و توزیع طیف توانی تغییرات ضریب شکست نور ناشی از نوسانات دما و شوری نیز در نظر گرفته شده است. شکل (۱) شمای کلی سیستم انتشاری مورد مطالعه را نشان می‌دهد.



شکل ۱: شمای کلی یک سیستم ساده انتشاری لیزری زیرآبی.

۲- انتشار پرتو سرصاف دایره‌ای در آب دریا

میدان الکتریکی ناشی از پرتو سرصاف با تقارن دایره‌ای در صفحه $z=0$ را می‌توان به صورت مجموعی متناهی از پرتوهای گاوسی در سیستم مختصات استوانه‌ای بیان کرد.

$$E_{iN}(\vec{r}'_1, 0; \omega) = A_i \sum_{n=1}^N \frac{(-1)^{n-1}}{N} \binom{N}{n} \exp\left(-\frac{nr_1'^2}{w_0^2}\right) \quad (1)$$

که در آن A_i ، w_0 و N به ترتیب نشانگر دامنه ثابت، کمره باریکه و درجه سرصافی هستند. وقتی $N=1$ باشد رابطه (۱) به پرتو گاوسی تبدیل می‌شود. $\vec{r}' = (x', y')$ بردار مکان یک نقطه در صفحه فرستنده است و نشانگر بردار انتقال دو بعدی عمود بر راستای انتشار پرتو است. عناصر ماتریس چگالی طیفی در صفحه فرستنده بصورت زیر می‌باشند:

$$W_{ij}(\vec{r}'_1, \vec{r}'_2, 0; \omega) = \langle E_{iN}(\vec{r}'_1, 0) E_{jN}^*(\vec{r}'_2, 0) g_{ij}(\vec{r}'_1 - \vec{r}'_2, 0) \rangle \quad (2)$$

علامت ستاره نشانگر مزدوج مختلط، و علامت براکت نشانگر میانگین گیری روی مجموعه آماری میدانهای الکتریکی در نظریه همدوسی در فضای فرکانسی می‌باشد. $g_{ij}(\vec{r}'_1 - \vec{r}'_2, 0)$ درجه همدوسی فضایی است که به صورت زیر بیان می‌شود [۱]:

$$g_{ij}(\vec{r}'_1 - \vec{r}'_2, 0) = B_{ij} \sum_{l=1}^N \frac{1}{N} \exp\left(\frac{-l(\vec{r}'_1 - \vec{r}'_2)^2}{2\sigma_{gij}^2}\right) \quad (3)$$

$$\text{when } \begin{cases} i = j \rightarrow B_{ij} = 1 \\ i \neq j \rightarrow |B_{ij}| \leq 1 \end{cases}$$

که در آن σ_{gij} عرض موثر فضایی درجه همدوسی منبع است. انتشار پرتو سرصاف در آب متلاطم بدون در نظر گرفتن جذب و پراکندگی توسط ماتریس چگالی طیفی که با کمک انتگرال تعمیم یافته هویگنس فرنل محاسبه شده بیان می‌شود. با در نظر گرفتن موارد فوق رابطه (۴) بدست می‌آید. که در آن n_0 ضریب شکست آب خالص دریا و \vec{r}'_1 و \vec{r}'_2 بردارهای عرضی در صفحه z و $\psi(\vec{r}, \vec{r}', z)$ قسمت آماری فاز مختلط موج کروی منتشر

شونده در محیط از نقطه $(\vec{r}', 0)$ به نقطه (\vec{r}', z) می‌باشد [۱].

$$W_{ij}(\vec{r}_1, \vec{r}_2, z) = (n_0 k_0 / 2\pi z)^2 \iint d^2 r'_1 \iint d^2 r'_2 \times \exp\left[(jn_0 k_0 / 2z)(r_1'^2 - 2\vec{r}_1 \cdot \vec{r}'_1 + r_1'^2)\right] \times \exp\left[-(jn_0 k_0 / 2z)(r_2'^2 - 2\vec{r}_2 \cdot \vec{r}'_2 + r_2'^2)\right] \times \Gamma_{ij}(\vec{r}'_1, \vec{r}'_2, 0) \left\langle \exp\left[\psi(\vec{r}_1, \vec{r}'_1, z) + \psi^*(\vec{r}_2, \vec{r}'_2, z)\right] \right\rangle_m \quad (۴)$$

که در آن:

$$\left\langle \exp\left[\psi^*(\vec{r}_1, \vec{r}'_1, z) + \psi(\vec{r}_2, \vec{r}'_2, z)\right] \right\rangle_m \equiv \exp\left[\left[(\vec{r}_1 - \vec{r}_2)^2 + (\vec{r}_1 - \vec{r}_2) \cdot (\vec{r}'_1 - \vec{r}'_2) + (\vec{r}_2 - \vec{r}'_2)^2\right]\right] \times \left[(-4\pi^4 z / 3\lambda^2) \int_0^\infty \kappa^3 \phi_n(\kappa) d\kappa\right] \quad (۵)$$

که در آن $\phi_n(\kappa)$ طیف توانی فضایی نوسانات ضریب شکست است که خطی‌سازی از چند جمله‌ای دو متغیره نوسانات دما و شوری می‌باشد. در این مدل‌سازی فرض بر همگن و همسانگرد بودن تلاطم است در نتیجه فقط به مشخص بودن طیف یک‌بعدی نیاز است که به شکل زیر است [۲]:

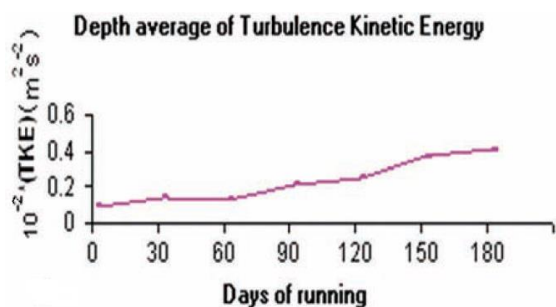
$$\phi_n(\kappa) = 0.388 \times 10^{-8} \varepsilon^{-1/3} \kappa^{-11/3} \times \left[1 + 2.35(\kappa\eta)^{2/3}\right] f(\kappa, \omega, \chi_T) \quad (۶)$$

که در آن ε نرخ اتلاف انرژی جنبشی تلاطمی در واحد جرم شاره است که در اعماق شمالی خلیج فارس بین $0.1 \times 10^{-2} m^2/s^3$ در زمستان‌ها تا $0.4 \times 10^{-2} m^2/s^3$ در تابستان‌ها تغییر می‌کند شکل (۲). البته در سطح آب تغییرات بین $0.3 \times 10^{-2} m^2/s^3$ در زمستان تا $0.6 \times 10^{-2} m^2/s^3$ در تابستان است [۳]. η مقیاس درونی کولموگراف است که بین $6 \times 10^{-5} m$ برای تلاطم قوی تا $0.01 m$ برای تلاطم ضعیف تغییر می‌کند. χ_T نرخ اتلاف میانگین مربعی دماست که تغییراتی از $7 \times 10^{-10} k^2/s$ برای تلاطم ضعیف تا $10^{-4} k^2/s$ برای تلاطم قوی دارد و $f(\kappa, \omega, \chi_T)$ نیز به شکل رابطه (۷) تعریف می‌شود که در آن A_T ، A_S و A_{TS} مقادیر ثابت

هستند [۴].

$$f(\kappa, \omega, \chi_T) = (\chi_T / \omega) \times (\omega^2 e^{-A_T} + e^{-A_S \delta} - 2\omega e^{-A_{TS} \delta}) \quad (۷)$$

$$\delta = 8.284(\kappa\eta)^{4/3} + 12.978(\kappa\eta)^2 \quad (۸)$$



شکل ۲: تغییرات نرخ اتلاف انرژی جنبشی تلاطمی در عمق میانگین در شمال خلیج فارس از زمستان تا تابستان [۳].

شدت پرتو رسیده به صفحه روزنه (دهانه ورودی آشکارساز) در مرجع [۴] محاسبه شده‌است. با استفاده از روش پیشنهادی ون و بریازیل برای وارد کردن دریچه اپتیکی در محاسبات [۵]، اندازه شدت روی حساسه آشکارساز با احتساب اپتیک ورودی با رابطه (۱۰) داده می‌شود [۴]. رابطه شعاع باریکه به صورت زیر تعریف می‌شود:

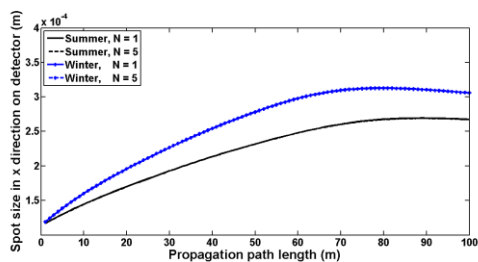
$$w_r^2(z) = \frac{2 \iint (x^2 + y^2) I(x, y, z) dx dy}{\iint I(x, y, z) dx dy} \quad (۹)$$

۳- دستاوردها

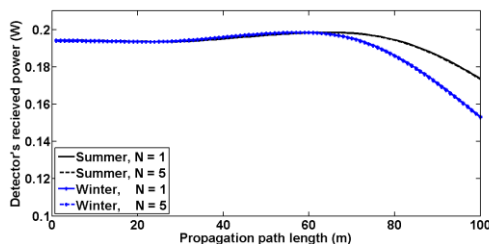
مقادیر پیش فرض استفاده شده در محاسبات جز در مواردی که مقدار دیگری به صورت مشخص ارائه شده- باشد به قرار زیر می‌باشند:

$$w_0 = 0.0045 (m), z = 100 (m), \theta = 1.5 (mrad) \\ P = 0.2 (watt), \lambda = 532 (nm), \omega = -2.5, \eta = 10^{-4} (m) \\ \sigma_{xx} = \sigma_{yy} = \sigma_{xy} = \sigma_{yx} = \frac{w}{10} (m), B_{xx} = B_{yy} = 1 \\ n = 1.345, A_T = 1.863 \times 10^{-2}, A_S = 1.9 \times 10^{-4} \\ \chi_T = 10^{-5} (k^2/s), \text{Aperture radius} = 0.05 (m)$$

شکل (۳) اندازه لکه $w_x^2(z)$ روی دهانه گیرنده بصورت تابعی از فاصله انتشاری برای درجه‌های مختلف سرصافی



شکل ۴: مولفه x اندازه لکه روی صفحه آشکارساز بر حسب طول مسیر انتشار بهازای درجات سروافی مختلف در فصول متفاوت.



شکل ۵: توان دریافتی توسط آشکارساز بر حسب طول مسیر انتشار و بهازای درجات سروافی مختلف در زمستان و تابستان.

۴- نتیجه گیری

در این نوشتار رابطه‌ای تحلیلی برای محاسبه میانگین شدت پرتو سرواف دایره‌ای منتشر شونده در دریای متلاطم (خلیج فارس) محاسبه کردیم. ملاحظه گردید پرتوهای با درجه سروافی بالاتر در مقایسه با پرتوهای مشابه با درجات سروافی پایین‌تر تاثیرپذیری کمتری از تلاطم دریایی دارند. مشاهده شد در فصل زمستان تاثیر نرخ اتلاف انرژی جنبشی تلاطمی بر پهن شدگی پرتو بیشتر است. همچنین دیده شد پرتوهای با درجه سروافی بالاتر پهن شدگی کمتری در آبهای متلاطم دریایی دارند.

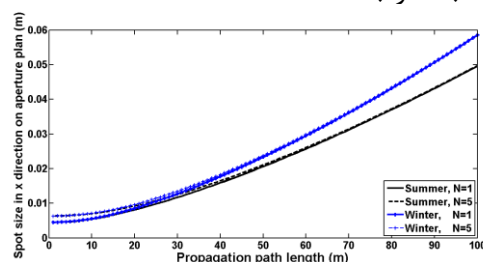
مراجع

- [1] Ghafary B., Kashani F., Kazemian E., *Reliability Analysis of FSO Communication Links Using Aberrated Divergent rectangular Partially Coherent Flat-Topped Beam*, **IJEEE**, 9 (2013) 13-19.
- [2] Kazemian E., Kashani F. D., *Reliability analysis of underwater optical communication links in different location through Caspian sea*, **Optik**, 124, (2013) 5184–5188.
- [3] Mosaddad S. M., Delphi M., *Numerical simulation of turbulence in northern part of the Persian gulf*, **Indian Journal of Geo-Marine Science**, 43 (2014) 252-257.
- [4] Kazemian E., Ghafary b., *Circular flat-topped beam propagation in turbulent seawater*, **2nd International Conference on New Frontiers in Physics (ICNFP 2014)**, 267.
- [5] Wen J. J., Breazeale M. A., *A diffraction beam field expressed as the superposition of Gaussian beams*, **J. Acoust. Soc. Am.**, 83, (1988) 1752–1756.

$$I(\vec{r}, z) = \frac{n_0^4 k_0^6}{B_1^2 z^4} \sum_h^H \sum_q^Q \sum_n^N \sum_m^N \sum_l^N \frac{(-1)^{m+n} A_h A_q^*}{N^3} \times \binom{N}{n} \binom{N}{n} \left\{ \frac{A_x A_x^* (4d_{1x} d_{2x} - d_{3x}^2)^{-1}}{(4\alpha_{1x} \alpha_{2x} - l^2 / \sigma_{gx}^4) (4\gamma_{1x} \gamma_{2x} - \gamma_{3x}^2)} \right\} \times \exp\left(-k_0^2 r^2 (d_{1x} + d_{2x} - d_{3x}) / B_1^2 (4d_{1x} d_{2x} - d_{3x}^2)\right) + \frac{A_y A_y^* (4d_{1y} d_{2y} - d_{3y}^2)^{-1}}{(4\alpha_{1y} \alpha_{2y} - l^2 / \sigma_{gy}^4) (4\gamma_{1y} \gamma_{2y} - \gamma_{3y}^2)} \times \exp\left(-k_0^2 r^2 (d_{1y} + d_{2y} - d_{3y}) / B_1^2 (4d_{1y} d_{2y} - d_{3y}^2)\right) \} \quad (10)$$

انتخابی در فصول مختلف در شمال خلیج فارس نشان می‌دهد. واضح است که پرتوهای سروافتار دارای پهن شدگی کمتری هستند. همچنین ملاحظه می‌شود با وجود آنکه در چند متر اول پرتوهای سروافتار پهنای بیشتری دارند اما در فواصل دورتر پرتوهای با درجات سروافی مختلف به مقدار مشخصی از پهن شدگی می‌رسند. کاملاً مشابه حالت تلاطم اتمسفری در اینجا نیز می‌توان دید پرتوهای سروافتار تاثیر کمتری از تلاطم می‌پذیرند. به علاوه مشاهده می‌شود نرخ اتلاف انرژی جنبشی تلاطمی در زمستانها بدلیل ورود بیشتر ذرات معلق از رودخانه‌ها تاثیر بیشتری در پهن شدگی پرتو دارد.

در شکل (۴) پهنای پرتو پس از عبور از دریچه و اپتیک گیرنده، روی آشکارساز نشان داده شده است. در شکل (۵) توان رسیده به آشکارساز بر حسب طول مسیر انتشار نمایش داده شده است. آشکارا مشاهده می‌شود طراحی اپتیک گیرنده طوری انجام شده که توانایی کانونی‌سازی پرتوهای سرواف با درجات مختلف و در فواصل متفاوت را با دقت بالا دارا باشد.



شکل ۳: مولفه x اندازه لکه روی دهانه ورودی گیرنده بر حسب طول مسیر انتشار بهازای درجات سروافی مختلف در زمستان و تابستان.